

EM506 – Resistência dos Materiais II – Gabarito do Exame

Questão única: Uma passarela de madeira para pedestres pode ser modelada como mostrado na Figura 1. Um carregamento uniformemente distribuído q_0 é aplicado. As peças A e B são feitas de madeiras diferentes, mas têm a mesma seção transversal. A peça B é feita de duas partes coladas da mesma madeira, com uma cola aplicada a 45° . Para este problema, determine:

- A reação de apoio no vínculo A (1,0 ponto);
- As tensões normais e de cisalhamento atuando no ponto $P(x=3L/4, y=H/4)$ (1,5 pontos);
- As tensões normais e de cisalhamento mínimas que a cola deve suportar no ponto P, segundo a orientação do plano de cola. Desenhe o Círculo de Mohr deste ponto (1,5 pontos);
- Considerando que a peça B é inteiriça (não colada), determine a rotação da passarela no vínculo A. Use a técnica de Associação de Sistemas (3,0 pontos);
- Resolva o item anterior usando o método de energia que achar conveniente (3,0 pontos).

Substitua valores numéricos somente no item (c). Resolva os demais itens analiticamente.

Dados: Módulo de elasticidade e momento de inércia das peças A e B: E_1 e E_2 e I_{ZZ1} e I_{ZZ2} , respectivamente; $q_0 = 10 \text{ kN/m}$; $L = 10 \text{ m}$; $B = 0,5 \text{ m}$; $H = 0,4 \text{ m}$.

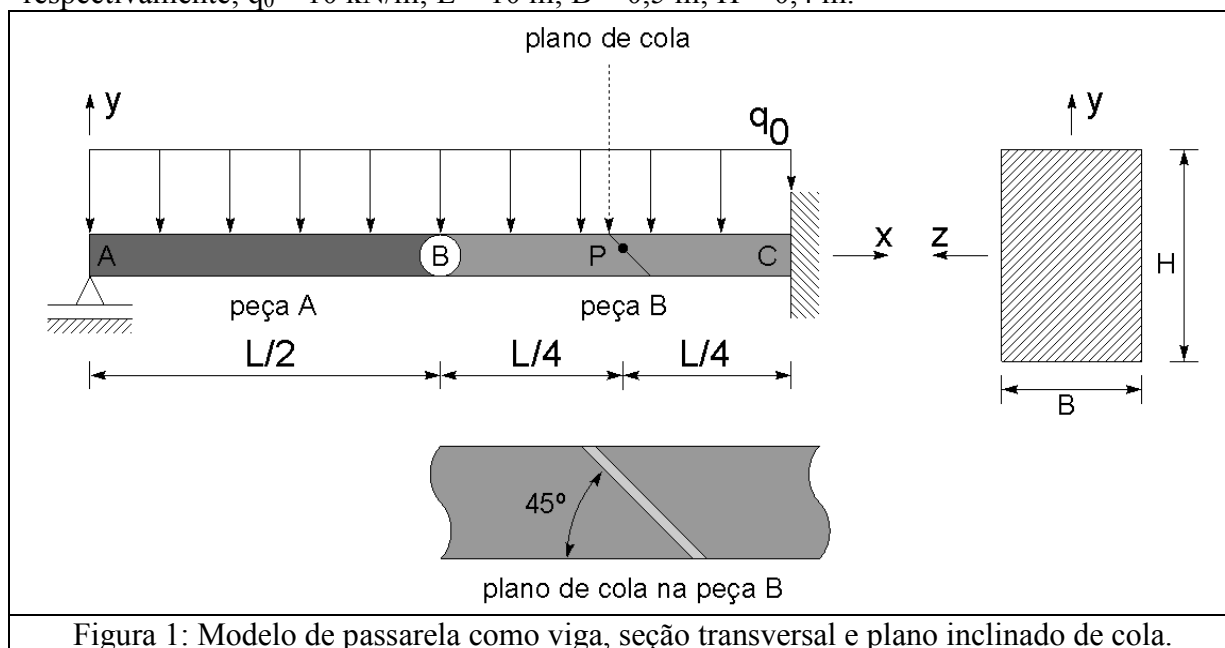


Figura 1: Modelo de passarela como viga, seção transversal e plano inclinado de cola.

Solução

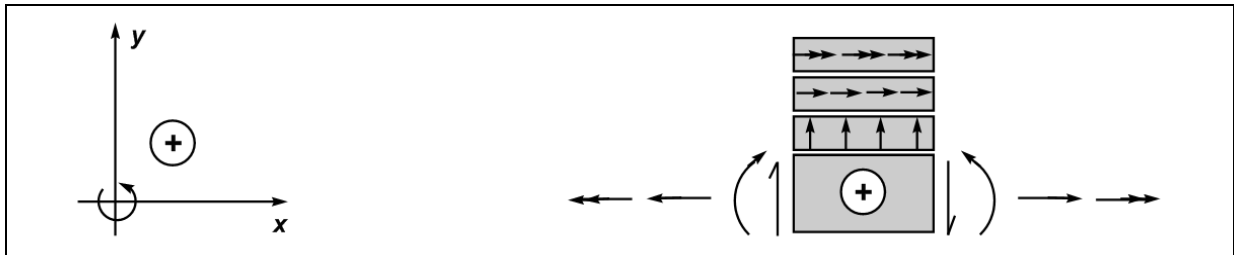
As tensões atuantes na viga, na orientação dos eixos coordenados, são dadas por:

$$\sigma_{xx}(x, y) = -\frac{M_z(x)}{I_{zz}(x)} \cdot y \quad (1)$$

$$\sigma_{xy}(x, y) = -\frac{V_y(x)}{I_{zz}(x)} \cdot \frac{Q_{zp}(y)}{B(y)} \quad (2)$$

É necessário, portanto, determinar as expressões de esforço cortante e momento fletor atuando nesta viga.

a) Eixos e convenções



b) Equação diferencial

$$\frac{d^2}{dx^2} M_z(x) = q(x) \quad (3)$$

c) Equação de carregamento

$$q(x) = -q_0 \quad (4)$$

d) Condições de contorno e restrição

$$M_z(x=0) = 0 \quad (5)$$

$$M_z(x=l/2) = 0 \quad (6)$$

e) Integração da equação diferencial

Substitui-se (5) em (4) para se obter:

$$\begin{aligned} \frac{d^2}{dx^2} M_z(x) &= -q_0 \\ \downarrow \int \\ \frac{d}{dx} M_z(x) &= Vy(x) = -q_0 x + C_1 \end{aligned} \quad (7)$$

$$\begin{aligned} \downarrow \int \\ M_z(x) &= -\frac{1}{2} q_0 x^2 + C_1 x + C_2 \end{aligned} \quad (8)$$

f) Determinação das constantes de integração

Substituindo (5) em (8), tem-se:

$$M_z(x=0) = -\frac{1}{2}q_0 0^2 + C_1 0 + C_2 = 0 \Rightarrow C_2 = 0 \quad (9)$$

Substituindo (6) em (8), tem-se:

$$M_z(x=L/2) = -\frac{1}{2}q_0 \left(\frac{L}{2}\right)^2 + C_1 \frac{L}{2} + C_2 = 0 \Rightarrow C_1 = \frac{1}{4}q_0 L \quad (10)$$

g) Equações finais

Substituindo (9) e (10) em (7) e (8), tem-se:

$$V_y(x) = -q_0 x + \frac{1}{4}q_0 L \quad (11)$$

$$M_z(x) = -\frac{1}{2}q_0 x^2 + \frac{1}{4}q_0 L \cdot x \quad (12)$$

A reação de apoio no vínculo A é dada pela Equação (11).

$$V_y(x=0) = -q_0 \cdot 0 + \frac{1}{4}q_0 L \Rightarrow \boxed{V_{yA} = \frac{1}{4}q_0 L} \quad (11b)$$

h) Valores no ponto

No ponto de cola, de coordenadas $x=3L/4$, $y=H/4$, tem-se:

$$V_y(x=3L/4) = -q_0 \left(\frac{3}{4}L\right) + \frac{1}{4}q_0 L = -\frac{1}{2}q_0 L \quad (13)$$

$$M_z(x=3L/4) = -\frac{1}{2}q_0 \left(\frac{3}{4}L\right)^2 + \frac{1}{4}q_0 L \left(\frac{3}{4}L\right) = -\frac{3}{32}q_0 L^2 \quad (14)$$

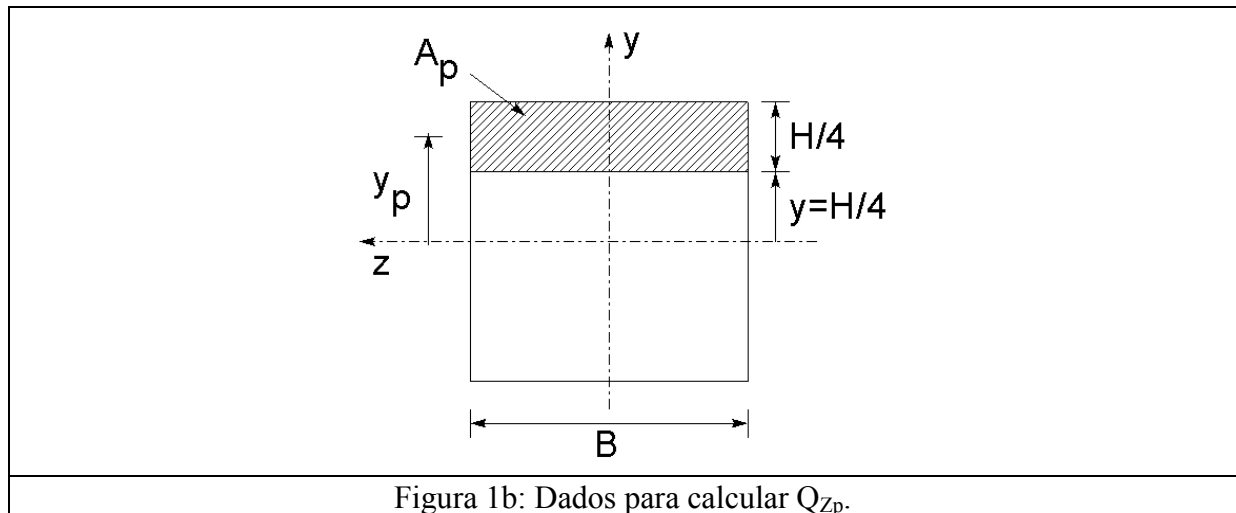
g) Propriedades geométricas

O momento estático parcial de área no ponto $y=H/4$ é calculado com ajuda da Figura 1b.

$$Q_{z_p}(y=H/4) = A_p y_p = \left(\frac{H}{4}B\right) \left(\frac{3}{8}H\right) = \frac{3}{32}BH^2 \quad (15)$$

O momento de inércia da seção transversal retangular é dado por:

$$I_{zz}(x) = \frac{1}{12} BH^3 \quad (16)$$



h) Tensões nos planos coordenados

Das Equações (1) e (2), as tensões no ponto $x=3L/4$, $y=H/4$ com a orientação dos planos coordenados são:

$$\sigma_{xx}(P) = -\frac{M_z(x=3L/4)}{I_{zz}(x=3L/4)} \cdot \left(\frac{H}{4}\right) = -\frac{\left(-\frac{3}{32}q_0L^2\right)}{\left(\frac{1}{12}BH^3\right)} \cdot \left(\frac{H}{4}\right) \Rightarrow \sigma_{xxP} = \frac{9}{32} \frac{q_0L^2}{BH^2} \quad (17)$$

$$\sigma_{xy}(P) = -\frac{V_y(x=3L/4)}{I_{zz}(x=3L/4)} \cdot \frac{Q_{zp}(y=H/4)}{B(y=H/4)} = -\frac{\left(-\frac{1}{2}q_0L\right)}{\left(\frac{1}{12}BH^3\right)} \cdot \frac{\left(\frac{3}{32}BH^2\right)}{B} \Rightarrow \sigma_{xyP} = \frac{18}{32} \frac{q_0L}{BH} \quad (18)$$

i) Círculo de Mohr

A viga não está sujeita a tensões normais em y , isto é, $\sigma_{yy} = 0$. Em valores numéricos, as tensões atuando no ponto $x=3L/4$, $y=H/4$ são:

$$\sigma_{xx}(x=7,5\text{ m}, y=0,1\text{ m}) = 3,516 \cdot 10^6 \text{ Pa} \quad (19)$$

$$\sigma_{xy}(x=7,5\text{ m}, y=0,1\text{ m}) = 0,281 \cdot 10^6 \text{ Pa} \quad (20)$$

$$\sigma_{yy}(x=7,5\text{ m}, y=0,1\text{ m}) = 0 \quad (21)$$

Parâmetros do Círculo:

$$x_0 = \frac{\sigma_{xx} + \sigma_{yy}}{2} = 1,758 \cdot 10^6 \text{ Pa} \quad (22)$$

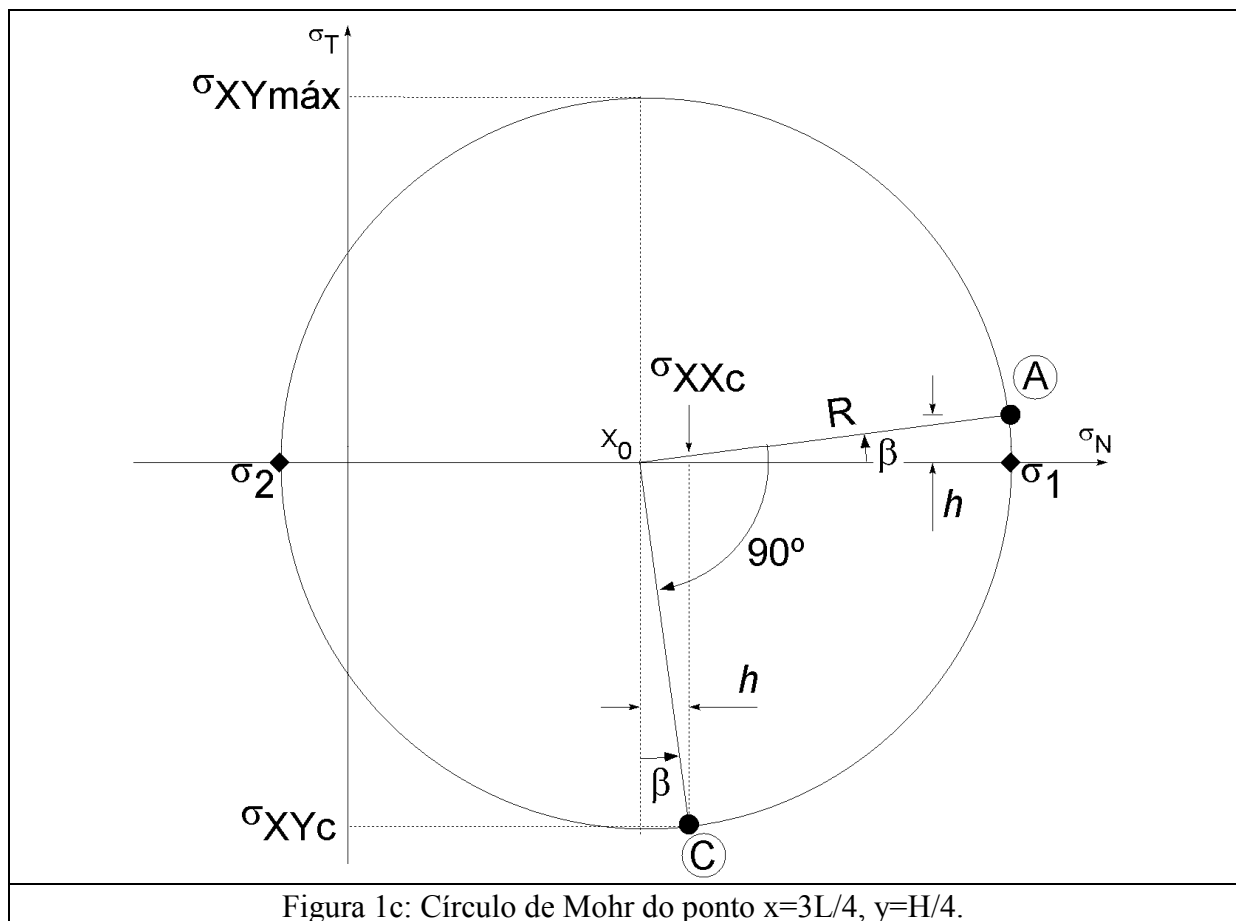
$$R = \sqrt{\left(\frac{\sigma_{XX} - \sigma_{YY}}{2}\right)^2 + \sigma_{XY}^2} = 1,78 \cdot 10^6 \text{ Pa} \quad (23)$$

Tensões principais:

$$\sigma_1 = x_0 + R = \frac{\sigma_{XX} + \sigma_{YY}}{2} = 3,538 \cdot 10^6 \text{ Pa} \quad (24)$$

$$\sigma_2 = x_0 - R = \frac{\sigma_{XX} + \sigma_{YY}}{2} = -0,0224 \cdot 10^6 \text{ Pa} \quad (25)$$

O Círculo de Mohr com esses parâmetros é mostrado na Figura 1c. O ponto A representa o plano orientado de acordo com os eixos coordenados, enquanto o ponto C representa o plano de cola, a 45° do plano A (ver Figura 1d).



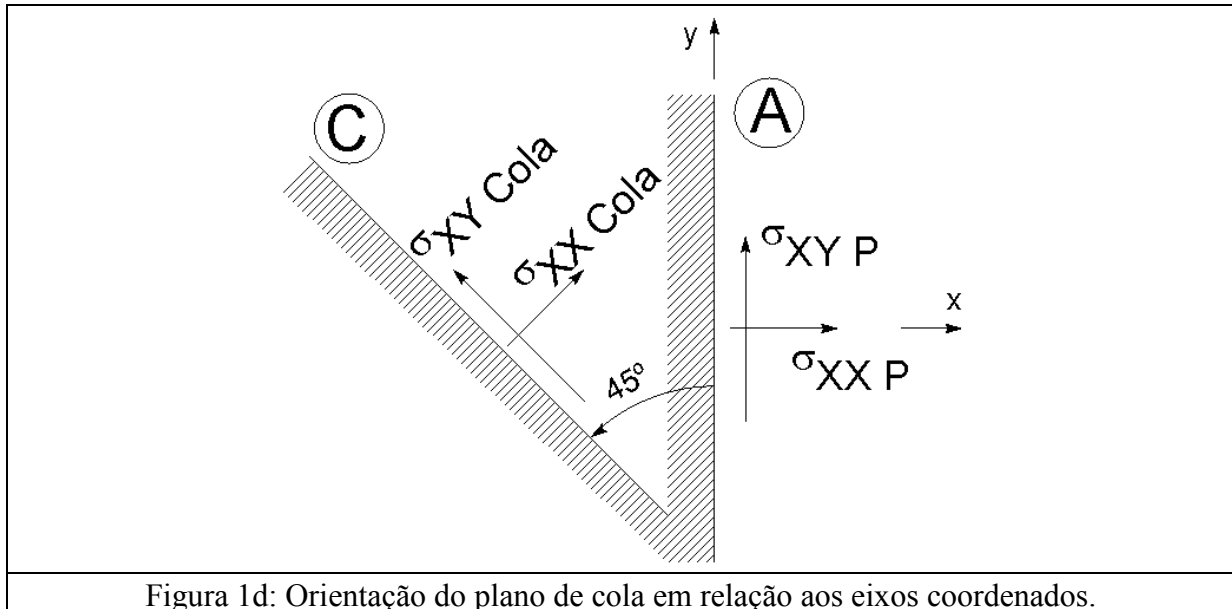
Com ajuda da Figura 1c, tem-se:

$$h = \sigma_{XYA} = \sigma_{XY} (x = 7,5 \text{ m}, y = 0,1 \text{ m}) = 0,281 \cdot 10^6 \text{ Pa} \quad (26)$$

$$\sigma_{XXCola} = x_0 + h = 1,758 \cdot 10^6 \text{ Pa} + 0,281 \cdot 10^6 \text{ Pa} = 2,04 \cdot 10^6 \text{ Pa} \quad (27)$$

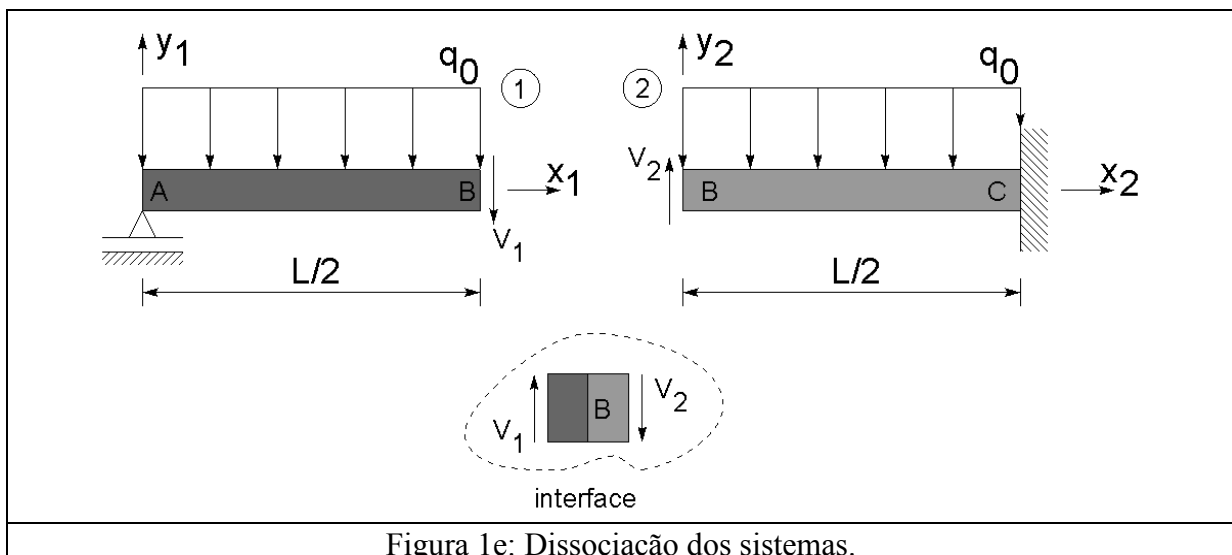
$$\sigma_{XY\text{ Cola}}^2 + h^2 = R^2 \Rightarrow \sigma_{XY\text{ Cola}} = 1,758 \cdot 10^6 \text{ Pa} (= x_0) \quad (28)$$

Assim, é necessário que a cola no ponto P ($x=3L/4$, $y=H/4$) resista no mínimo à tensão normal de 2,04 MPa e à tensão de cisalhamento de 1,758 MPa.



j) Determinando a rotação do ponto A por Associação de Sistemas

j1) Dissociação dos sistemas



j2) Equilíbrio na interface

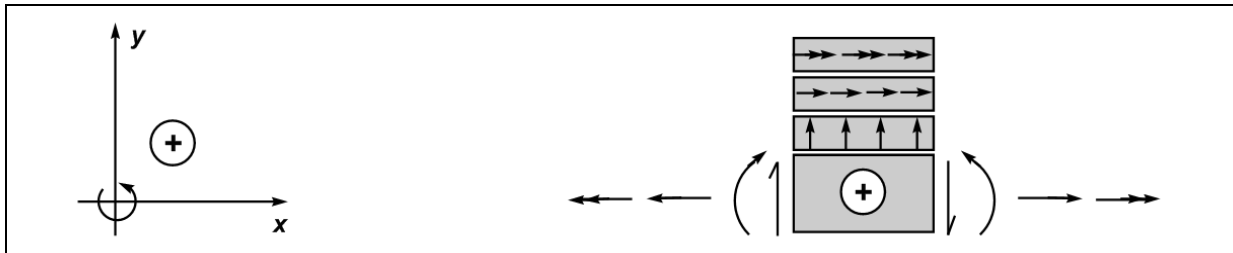
$$\sum F_Y = 0 \Rightarrow +V_1 - V_2 = 0 \quad (29)$$

j3) Compatibilidade cinemática

$$v_{1B} = v_1 \left(x_1 = \frac{L}{2} \right) = v_2 \left(x_2 = 0 \right) = v_{2B} \quad (30)$$

k) Resolvendo o problema (1) – peça A).

k1) eixos e convenção de sinais da Resistência dos Materiais



k2) equação diferencial

$$E_1 I_{ZZ1} \frac{d^4}{dx_1^4} v_1(x_1) = +q_1(x_1) \quad (31)$$

k3) equação de carregamento

$$q_1(x_1) = -q_0 \quad (32)$$

k4) condições de contorno

$$v_1(x_1 = 0) = 0 \quad (33)$$

$$M_{Z1}(x_1 = 0) = 0 \quad (34)$$

$$V_{Y1}(x_1 = \frac{L}{2}) = +V_1 \quad (35)$$

$$M_{Z1}(x_1 = \frac{L}{2}) = 0 \quad (36)$$

k5) integração da equação diferencial

$$E_1 I_{ZZ1} \frac{d^4}{dx_1^4} v_1(x_1) = -q_0 \quad (37)$$

↓ ∫

$$E_1 I_{ZZ1} \frac{d^3}{dx_1^3} v_1(x_1) = V_{Y1}(x_1) = -q_0 x_1 + C_1 \quad (38)$$

↓ ∫

$$E_1 I_{ZZ1} \frac{d^2}{dx_1^2} v_1(x_1) = M_{Z1}(x_1) = -\frac{1}{2} q_0 x_1^2 + C_1 x_1 + C_2 \quad (39)$$

$$\downarrow \int$$

$$E_1 I_{ZZ1} \frac{d}{dx_1} v_1(x_1) = E_1 I_{ZZ1} \theta_{z1}(x_1) = -\frac{1}{6} q_0 x_1^3 + \frac{1}{2} C_1 x_1^2 + C_2 x_1 + C_3 \quad (40)$$

$$\downarrow \int$$

$$E_1 I_{ZZ1} v_1(x_1) = -\frac{1}{24} q_0 x_1^4 + \frac{1}{6} C_1 x_1^3 + \frac{1}{2} C_2 x_1^2 + C_3 x_1 + C_4 \quad (41)$$

k6) determinação das constantes de integração

Substituindo-se (33) em (41), tem-se:

$$v_1(x_1 = 0) = C_4 = 0 \quad (42)$$

Substituindo-se (34) em (39), tem-se:

$$M_{z1}(x_1 = 0) = C_2 = 0 \quad (43)$$

Substituindo-se (35) em (38), tem-se:

$$V_{y1}\left(x_1 = \frac{L}{2}\right) = -q_0 \frac{L}{2} + C_1 = +V_1$$

$$C_1 = +V_1 + \frac{1}{2} q_0 L \quad (44)$$

Substituindo-se (36) em (39), tem-se:

$$M_{z1}\left(x_1 = \frac{L}{2}\right) = -\frac{1}{2} q_0 \left(\frac{L}{2}\right)^2 + \left(V_1 + \frac{1}{2} q_0 L\right) \left(\frac{L}{2}\right) = 0$$

$$V_1 = -\frac{1}{4} q_0 L \quad (45)$$

$$\therefore C_1 = +\frac{1}{4} q_0 L \quad (46)$$

Observação: como a constante de integração C_1 representa o valor do esforço cortante quando $x=0$, C_1 é a reação de apoio no vínculo A. Assim, o resultado da Eq. (46) é confirmado pelo que já tinha sido determinado na Eq. (11b).

k7) equações finais

$$V_{y1}(x_1) = -q_0 x_1 + \frac{1}{4} q_0 L \quad (46)$$

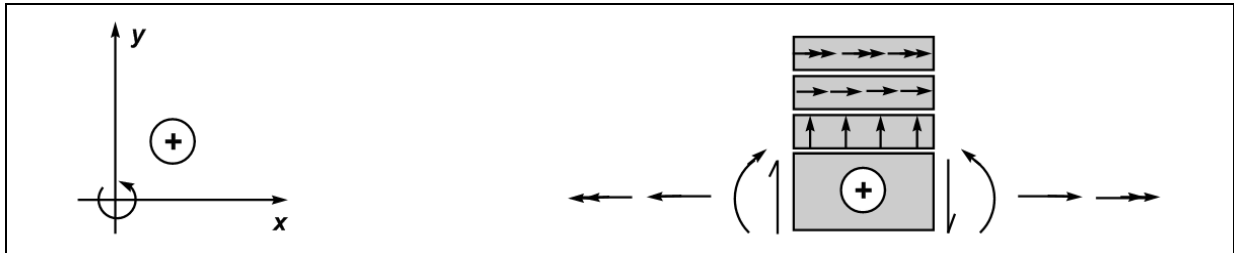
$$M_{z1}(x_1) = -\frac{1}{2} q_0 x_1^2 + \frac{1}{4} q_0 L x_1 \quad (47)$$

$$E_1 I_{ZZ1} \theta_{Z1}(x_1) = -\frac{1}{6} q_0 x_1^3 + \frac{1}{8} q_0 L x_1^2 + C_3 \quad (48)$$

$$E_1 I_{ZZ1} v_1(x_1) = -\frac{1}{24} q_0 x_1^4 + \frac{1}{24} q_0 L x_1^3 + C_3 x_1 \quad (49)$$

l) Resolvendo o problema (2) (peça B)

m1) eixos e convenção de sinais da Resistência dos Materiais



m2) equação diferencial

$$E_2 I_{ZZ2} \frac{d^4}{dx_2^4} v_2(x_2) = +q_2(x_2) \quad (50)$$

m3) equação de carregamento

$$q_2(x_2) = -q_0 \quad (51)$$

m4) condições de contorno

$$V_{Y2}(x_2 = 0) = +V_2 \quad (52)$$

$$M_{Z2}(x_2 = 0) = 0 \quad (53)$$

$$v_2(x_2 = \frac{L}{2}) = 0 \quad (54)$$

$$\theta_{Z2}(x_2 = \frac{L}{2}) = 0 \quad (55)$$

m5) integração da equação diferencial

$$E_2 I_{ZZ2} \frac{d^4}{dx_2^4} v_2(x_2) = -q_0 \quad (56)$$

↓ ∫

$$E_2 I_{ZZ2} \frac{d^3}{dx_2^3} v_2(x_2) = V_{Y2}(x_2) = -q_0 x_2 + D_1 \quad (57)$$

↓ ∫

$$E_2 I_{ZZ2} \frac{d^2}{dx_2^2} v_2(x_2) = M_{ZZ}(x_2) = -\frac{1}{2} q_0 x_2^2 + D_1 x_2 + D_2 \quad (58)$$

↓ ∫

$$E_2 I_{ZZ2} \frac{d}{dx_2} v_2(x_2) = E_2 I_{ZZ2} \theta_{ZZ}(x_2) = -\frac{1}{6} q_0 x_2^3 + \frac{1}{2} D_1 x_2^2 + D_2 x_2 + D_3 \quad (59)$$

↓ ∫

$$E_2 I_{ZZ2} v_2(x_2) = -\frac{1}{24} q_0 x_2^4 + \frac{1}{6} D_1 x_2^3 + \frac{1}{2} D_2 x_2^2 + D_3 x_2 + D_4 \quad (60)$$

m6) determinação das constantes de integração

Substituindo-se (53) em (58), tem-se:

$$M_{ZZ}(x_2 = 0) = D_2 = 0 \quad (61)$$

Substituindo-se (52) em (57), tem-se:

$$V_{Y2}(x_2 = 0) = D_1 = +V_2 \quad (62)$$

Substituindo-se (54) em (60), tem-se:

$$\begin{aligned} v_2(x_2 = \frac{L}{2}) = 0 &\Rightarrow -\frac{1}{24} q_0 \left(\frac{L}{2}\right)^4 + \frac{1}{6} V_2 \left(\frac{L}{2}\right)^3 + D_3 \left(\frac{L}{2}\right) + D_4 = 0 \\ -\frac{1}{384} q_0 L^4 + \frac{1}{48} V_2 L^3 + \frac{1}{2} D_3 L + D_4 &= 0 \end{aligned} \quad (63)$$

Substituindo-se (55) em (59), tem-se:

$$\begin{aligned} E_2 I_{ZZ2} \theta_{ZZ}(x_2 = \frac{L}{2}) &= -\frac{1}{6} q_0 \left(\frac{L}{2}\right)^3 + \frac{1}{2} V_2 \left(\frac{L}{2}\right)^2 + D_3 = 0 \\ D_3 &= \frac{1}{48} q_0 L^3 - \frac{1}{8} V_2 L^2 \end{aligned} \quad (64)$$

Assim, de (64) em (63), tem-se:

$$D_4 = -\frac{1}{128} q_0 L^4 + \frac{1}{24} V_2 L^3 \quad (65)$$

m7) equações finais

$$V_{Y2}(x_2) = -q_0 x_2 + V_2 \quad (66)$$

$$M_{zz}(x_2) = -\frac{1}{2}q_0x_2^2 + V_2x_2 \quad (67)$$

$$E_2I_{zzz}\theta_{zz}(x_2) = -\frac{1}{6}q_0x_2^3 + \frac{1}{2}V_2x_2^2 + \frac{1}{48}q_0L^3 - \frac{1}{8}V_2L^2 \quad (68)$$

$$E_2I_{zzz}v_2(x_2) = -\frac{1}{24}q_0x_2^4 + \frac{1}{6}V_2x_2^3 + \left(\frac{1}{48}q_0L^3 - \frac{1}{8}V_2L^2\right)x_2 - \frac{1}{128}q_0L^4 + \frac{1}{24}V_2L^3 \quad (69)$$

n) Resolvendo a associação

Do equilíbrio na interface, Eq. (29), e da Eq. (45), tem-se que:

$$V_2 = V_1 = -\frac{1}{4}q_0L \quad (70)$$

Aplicando a compatibilidade cinemática deste problema, Eq. (30), às Eqs. (49) e (69), tem-se ainda:

$$v_{1B} = v_1\left(x_1 = \frac{L}{2}\right) = \frac{1}{E_1I_{zz1}} \left\{ -\frac{1}{24}q_0\left(\frac{L}{2}\right)^4 + \frac{1}{24}q_0L\left(\frac{L}{2}\right)^3 + C_3\left(\frac{L}{2}\right) \right\}$$

$$v_{1B} = \frac{1}{E_1I_{zz1}} \left\{ \frac{1}{384}q_0L^4 + \frac{1}{2}C_3L \right\} \quad (71)$$

$$v_{2B} = v_2(x_2 = 0) = \frac{1}{E_2I_{zz2}} \left\{ -\frac{1}{128}q_0L^4 + \frac{1}{24}V_2L^3 \right\} \quad (72)$$

Substituindo (70) em (72), tem-se:

$$v_{2B} = \frac{1}{E_2I_{zz2}} \left\{ -\frac{7}{384}q_0L^4 \right\} \quad (73)$$

Aplicando (30) a (71) e (73), tem-se:

$$v_{1B} = v_{2B} \Rightarrow \frac{1}{E_2I_{zz2}} \left\{ -\frac{7}{384}q_0L^4 \right\} = \frac{1}{E_1I_{zz1}} \left\{ \frac{1}{384}q_0L^4 + \frac{1}{2}C_3L \right\}$$

$$\frac{1}{2}C_3L = -\frac{1}{384}q_0L^4 - \frac{7}{384} \frac{E_1I_{zz1}}{E_2I_{zz2}} q_0L^4 \Rightarrow C_3 = -\frac{1}{192}q_0L^3 - \frac{7}{192} \frac{E_1I_{zz1}}{E_2I_{zz2}} q_0L^3 \quad (74)$$

Não restam mais incógnitas no problema.

o) Rotação no vínculo A

Substituindo o valor de C_3 da Eq. (74) na expressão da rotação da peça A (Eq. 48), tem-se:

$$E_1 I_{ZZ1} \theta_{Z1}(x_1) = -\frac{1}{6} q_0 x_1^3 + \frac{1}{8} q_0 L x_1^2 - \frac{1}{192} q_0 L^3 - \frac{7}{192} \frac{E_1 I_{ZZ1}}{E_2 I_{ZZ2}} q_0 L^3 \quad (75)$$

A rotação no vínculo A é, finalmente,

$$\theta_{ZA} = \theta_{Z1}(x_1 = 0) = \frac{1}{E_1 I_{ZZ1}} \left\{ -\frac{1}{6} q_0 x_1^3 + \frac{1}{8} q_0 L x_1^2 - \frac{1}{192} q_0 L^3 - \frac{7}{192} \frac{E_1 I_{ZZ1}}{E_2 I_{ZZ2}} q_0 L^3 \right\}$$

$$\boxed{\theta_{ZA} = -\frac{1}{192} \frac{q_0 L^3}{E_1 I_{ZZ1}} - \frac{7}{192} \frac{q_0 L^3}{E_2 I_{ZZ2}}} \quad (76)$$

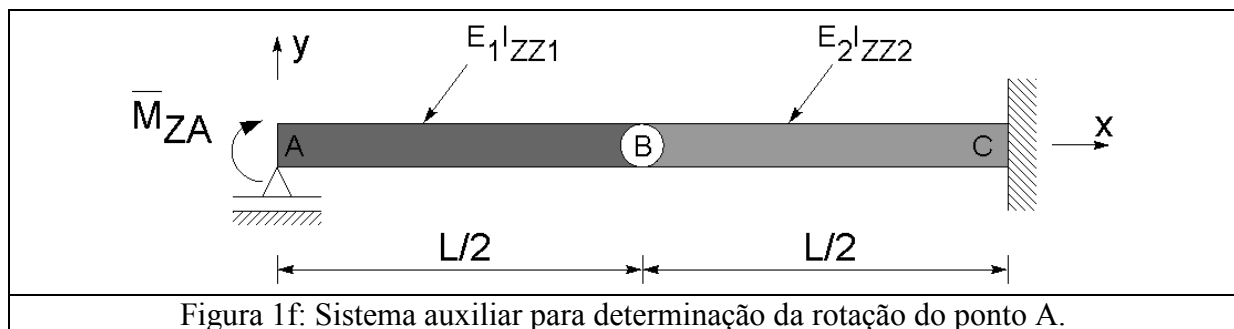
p) Determinando a rotação do ponto A por métodos de energia

Devido ao carregamento distribuído na viga, não é possível resolver este problema pelo Princípio de Conservação de Energia. Um método adequado para resolver este problema é o Princípio das Forças Virtuais.

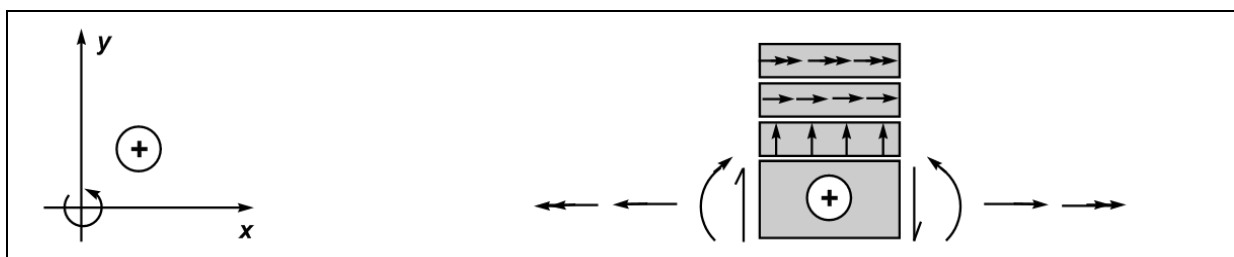
A expressão do momento fletor no sistema real já foi determinada neste problema, e é dada pela Eq. (12).

$$M_Z(x) = -\frac{1}{2} q_0 x^2 + \frac{1}{4} q_0 L \cdot x \quad (12)$$

Para determinar a rotação da viga no vínculo A, é necessário estabelecer um sistema auxiliar como mostrado na Figura 1f. A expressão do momento fletor virtual ao longo desta viga é determinada a seguir.



q1) Eixos e convenções de sinais da Resistência dos Materiais



q2) Equação diferencial

$$\frac{d^2}{dx^2} \bar{M}_Z(x) = +\bar{q}(x) \quad (77)$$

q3) Equação do carregamento

$$\bar{q}(x) = 0 \quad (78)$$

q4) Condições de contorno

$$\bar{M}_Z(x=0) = +\bar{M}_{ZA} \quad (79)$$

$$\bar{M}_Z(x = \frac{L}{2}) = 0 \quad (80)$$

q5) Integração da equação diferencial

$$\frac{d^2}{dx^2} \bar{M}_Z(x) = +\bar{q}(x) = 0 \quad (81)$$

$$\downarrow \int$$

$$\frac{d}{dx} \bar{M}_Z(x) = \bar{V}_Y(x) = S_1 \quad (82)$$

$$\downarrow \int$$

$$\bar{M}_Z(x) = S_1 x + S_2 \quad (83)$$

q6) Determinação das constantes de integração

Substituindo-se (79) em (83) tem-se:

$$\bar{M}_Z(x=0) = S_1 \cdot 0 + S_2 = \bar{M}_{ZA} \Rightarrow S_2 = \bar{M}_{ZA} \quad (84)$$

Substituindo-se (80) e (84) em (83) tem-se:

$$\bar{M}_Z(x = \frac{L}{2}) = S_1 \frac{L}{2} + \bar{M}_{ZA} = 0 \Rightarrow S_1 = -2 \frac{\bar{M}_{ZA}}{L} \quad (85)$$

q7) Equações finais

Substituindo-se (84) e (85) em (83), tem-se:

$$\bar{M}_Z(x) = -2 \frac{\bar{M}_{ZA}}{L} x + \bar{M}_{ZA} \quad (86)$$

r) Trabalho virtual na viga associada

O único carregamento presente no sistema auxiliar da Figura 1f é o momento virtual M'_{ZA} . O trabalho virtual desse carregamento é dado por:

$$\delta W_a = \overline{M}_{ZA} \cdot \delta \theta_{ZA} = \overline{M}_{ZA} \cdot \mu \cdot \theta_{ZA} \quad (87)$$

s) Variação de energia de deformação na viga

A variação da energia de deformação na viga devido à aplicação do momento virtual M'_{ZA} é:

$$\delta U_V = \mu \int_x \frac{\overline{M}_Z(x) M_Z(x)}{E(x) I_{ZZ}(x)} dx + \mu \int_x \xi(x) \frac{\overline{V}_Y(x) V_Y(x)}{G(x) A(x)} dx \quad (88)$$

da qual se pode desprezar o efeito do esforço cortante. É necessário separar o domínio de integração em duas partes, devido à mudança de materiais no ponto $x=L/2$.

$$\begin{aligned} \delta U_V &= \mu \frac{1}{E_1 I_{ZZ1}} \int_{x=0}^{x=L/2} \left[-\frac{1}{2} q_0 x^2 + \frac{1}{4} q_0 Lx \right] \left[-2 \frac{\overline{M}_{ZA}}{L} x + \overline{M}_{ZA} \right] dx + \\ &\quad + \mu \frac{1}{E_2 I_{ZZ2}} \int_{x=L/2}^{x=L} \left[-\frac{1}{2} q_0 x^2 + \frac{1}{4} q_0 Lx \right] \left[-2 \frac{\overline{M}_{ZA}}{L} x + \overline{M}_{ZA} \right] dx \\ \delta U_V &= \mu \overline{M}_{ZA} \left\{ \frac{1}{192} \frac{1}{E_1 I_{ZZ1}} q_0 L^3 + \frac{7}{192} \frac{1}{E_2 I_{ZZ2}} q_0 L^3 \right\} \end{aligned} \quad (89)$$

t) Aplicação do Princípio de Conservação de Energia

Aplicando o Princípio de Conservação de Energia à associação de vigas deste problema, tem-se, de (87) e (89):

$$\delta W_a = \delta U_V \quad (90)$$

$$\delta W_a = \overline{M}_{ZA} \cdot \mu \cdot \theta_{ZA} = \mu \overline{M}_{ZA} \left\{ \frac{1}{192} \frac{1}{E_1 I_{ZZ1}} q_0 L^3 + \frac{7}{192} \frac{1}{E_2 I_{ZZ2}} q_0 L^3 \right\}$$

$$\boxed{\theta_{ZA} = \frac{1}{192} \frac{q_0 L^3}{E_1 I_{ZZ1}} + \frac{7}{192} \frac{q_0 L^3}{E_2 I_{ZZ2}}} \quad (91)$$

Esta rotação é positiva no sentido em que o momento virtual foi aplicado (Figura 1f). Este resultado concorda com o que foi obtido pela técnica de Associação de Sistemas (Eq. 76).